

# Adaptive Flugsteuerung

Hagen Hasberg

14.11.14

# Inhalt

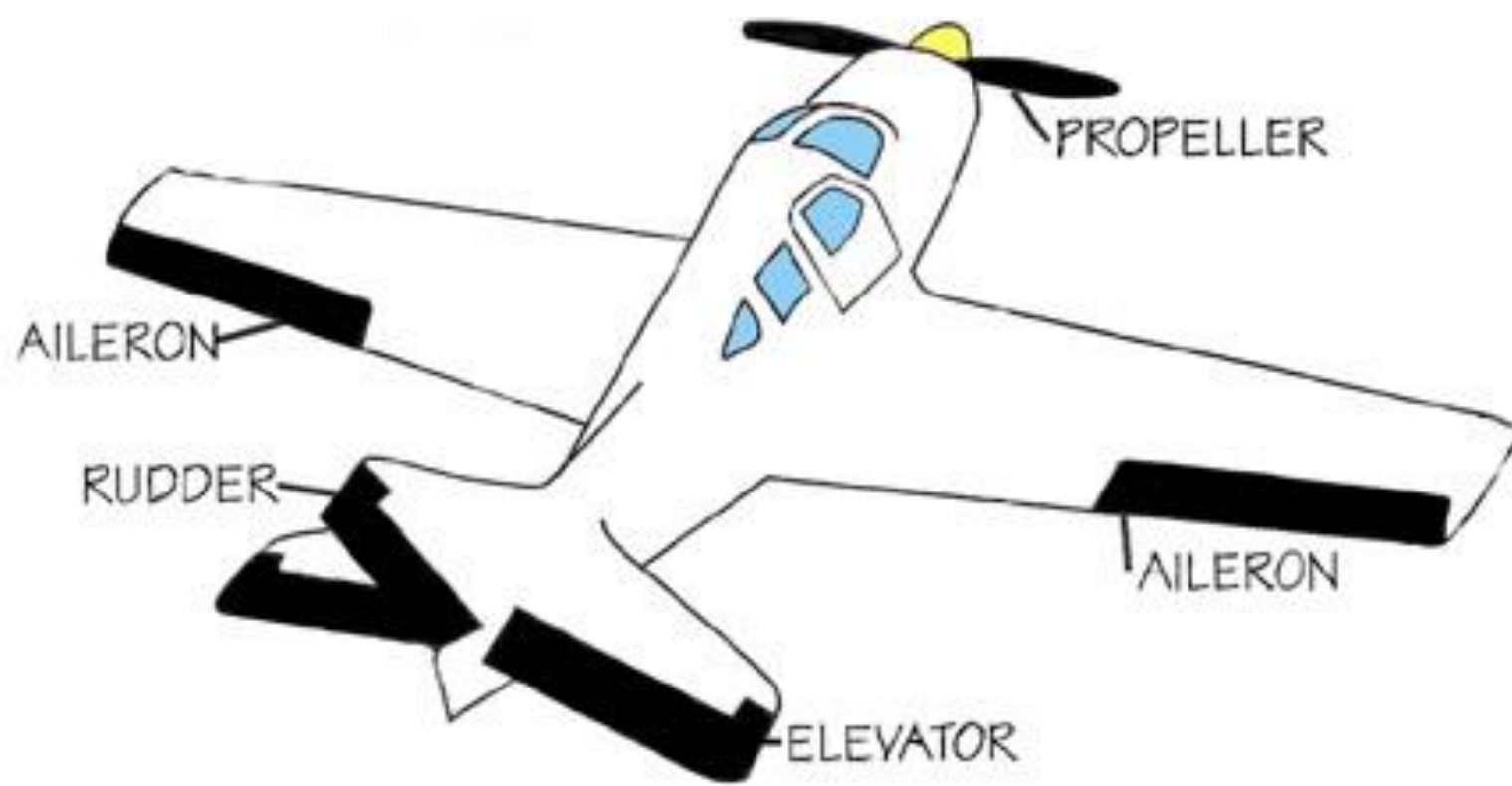
- Motivation
- Konventionelles Flugzeug
- Forschung
  - Intelligent Flight Control System
  - Daisy Chain
  - Optimale Zuordnung
  - Redundanz
- AC2030 / Avionik
- Mein Fokus
- Quellen

# Motivation

## „Towards Safer Flight“

- Computergestützte Flugsteuerung
  - Entlastung des Piloten
  - Autonome Flugsteuerung
- Funktionalität bei Ausfällen
  - Zertifizierung von UAVs

# Konventionelles Flugzeug



# Intelligent Flight Control System

- Forschungsprojekt der NASA
- Adaptives Flugsteuerungssystem
  - Neuronales Netz
- Nicht auf spezielles Flugzeug beschränkt
  - Lernt das Flugzeug kennen
- Reagiert auf Ausfälle
  - Kann Piloten ersetzen



# Daisy Chain

- Überaktuiertes System
  - Steuerflächen agieren nicht isoliert
- Bewegungen sind unmittelbar verknüpft
  - Fluch und Segen zugleich

=> Verwenden von alternativen  
*Flight Control Laws*

	Asym. Aileron	Sym. Elevator	Rudder	Sym. Thrust	Sym. Aileron	Asym. Elevator	Diff. Thrust
Rollen	Primär		Sekundär			Tertiär	
Nicken		Primär		Sekundär	Tertiär		
Gieren	Tertiär		Primär				Sekundär
Schub		Sekundär		Primär			

# Optimale Zuordnung

- Mischen der Zuständigkeiten
- Lineare Optimierung
- Basiert auf der Effektivität der Steuerflächen
- Berücksichtigung einer Kostenfunktion

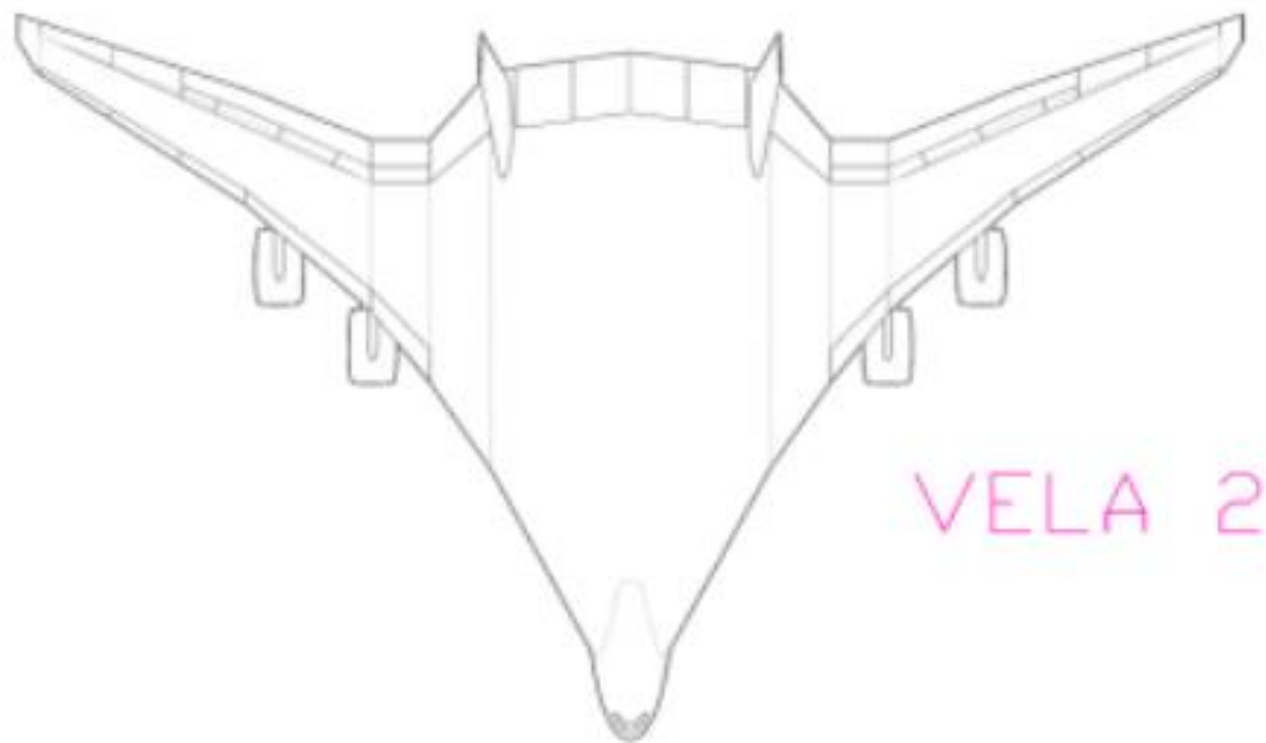
$$\begin{bmatrix} \Delta \dot{V} \\ \Delta \dot{\alpha} \\ \Delta \dot{q} \\ \Delta \dot{\Theta} \end{bmatrix} = \begin{bmatrix} X_V & X_\alpha & X_{\dot{\alpha}} & X_q - w_{wsr} & X_\Theta \\ Z_V & Z_\alpha & Z_{\dot{\alpha}} & Z_q + 1 + \frac{u_{wsr}}{V_r} & Z_\Theta \\ M_V & M_\alpha & M_{\dot{\alpha}} & M_q & 0 \\ 0 & 0 & 0 & 1 & 0 \end{bmatrix} \begin{bmatrix} \Delta V \\ \Delta \alpha \\ \Delta \dot{\alpha} \\ \Delta q \\ \Delta \Theta \end{bmatrix} + \begin{bmatrix} X_\eta & X_{\eta_K} & X_{\eta_F} \\ Z_\eta & Z_{\eta_K} & Z_{\eta_F} \\ M_\eta & M_{\eta_K} & M_{\eta_F} \\ 0 & 0 & 0 \end{bmatrix} \begin{bmatrix} \eta \\ \eta_K \\ \eta_F \end{bmatrix} + \begin{bmatrix} -1 & 0 \\ 0 & -\frac{1}{V_r} \\ 0 & 0 \\ 0 & 0 \end{bmatrix} \begin{bmatrix} \Delta \dot{u}_{ws} \\ \Delta \dot{w}_{ws} \end{bmatrix}$$

# Optimale Zuordnung

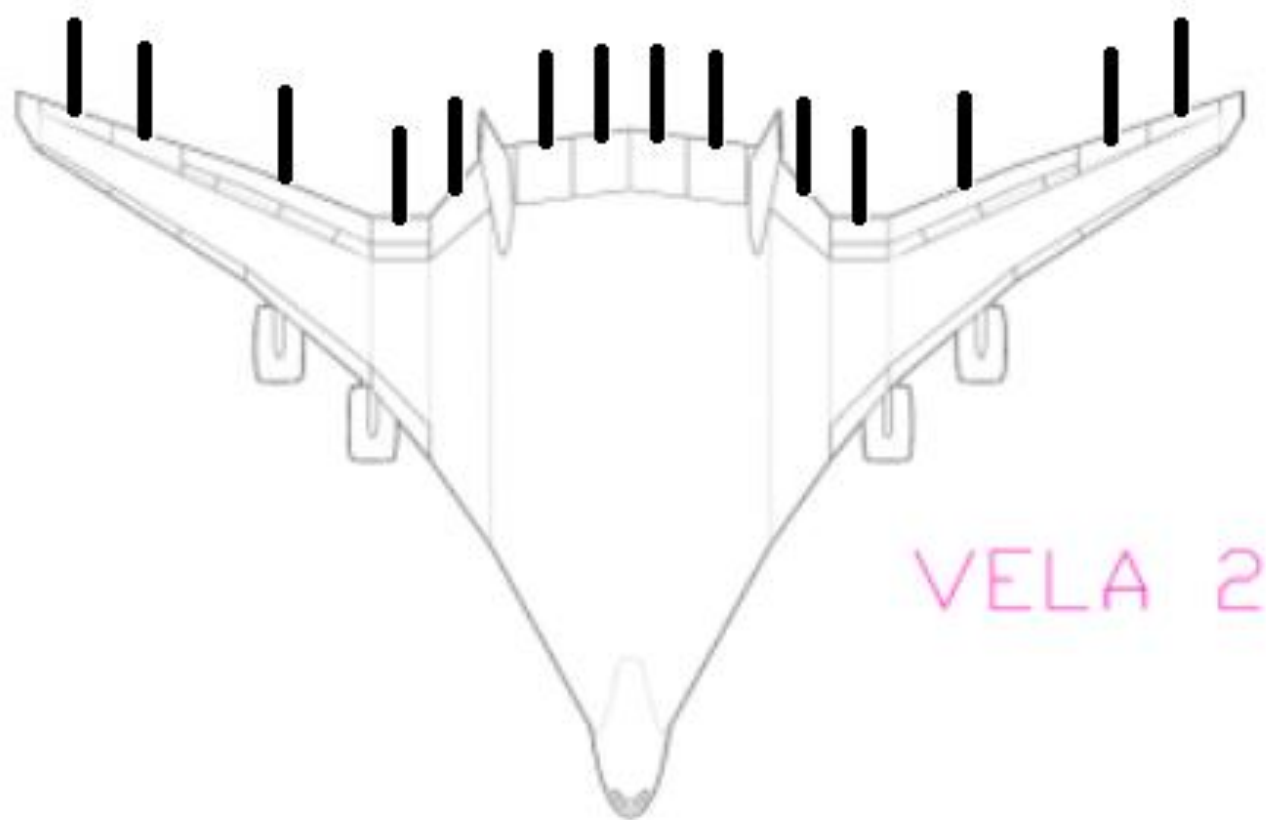
- Mischen der Zuständigkeiten
- Lineare Optimierung
- Basiert auf der Effektivität der Steuerflächen
- Berücksichtigung einer Kostenfunktion

$$\begin{bmatrix} \Delta \dot{V} \\ \Delta \dot{\alpha} \\ \Delta \dot{q} \\ \Delta \dot{\Theta} \end{bmatrix} = \begin{bmatrix} X_V & X_\alpha & X_{\dot{\alpha}} & X_q - w_{wsr} & X_\Theta \\ Z_V & Z_\alpha & Z_{\dot{\alpha}} & Z_q + 1 + \frac{u_{wsr}}{V_r} & Z_\Theta \\ M_V & M_\alpha & M_{\dot{\alpha}} & M_q & 0 \\ 0 & 0 & 0 & 1 & 0 \end{bmatrix} \begin{bmatrix} \Delta V \\ \Delta \alpha \\ \Delta \dot{q} \\ \Delta \Theta \end{bmatrix} - \boxed{\begin{bmatrix} X_\eta & X_{\eta_K} & X_{\eta_F} \\ Z_\eta & Z_{\eta_K} & Z_{\eta_F} \\ M_\eta & M_{\eta_K} & M_{\eta_F} \\ 0 & 0 & 0 \end{bmatrix} \begin{bmatrix} \eta \\ \eta_K \\ \eta_F \end{bmatrix}} - \begin{bmatrix} -1 & 0 \\ 0 & -\frac{1}{V_r} \\ 0 & 0 \\ 0 & 0 \end{bmatrix} \begin{bmatrix} \Delta \dot{u}_{ws} \\ \Delta \dot{w}_{ws} \end{bmatrix}$$

# Redundante Steuerflächen



# Redundante Steuerflächen

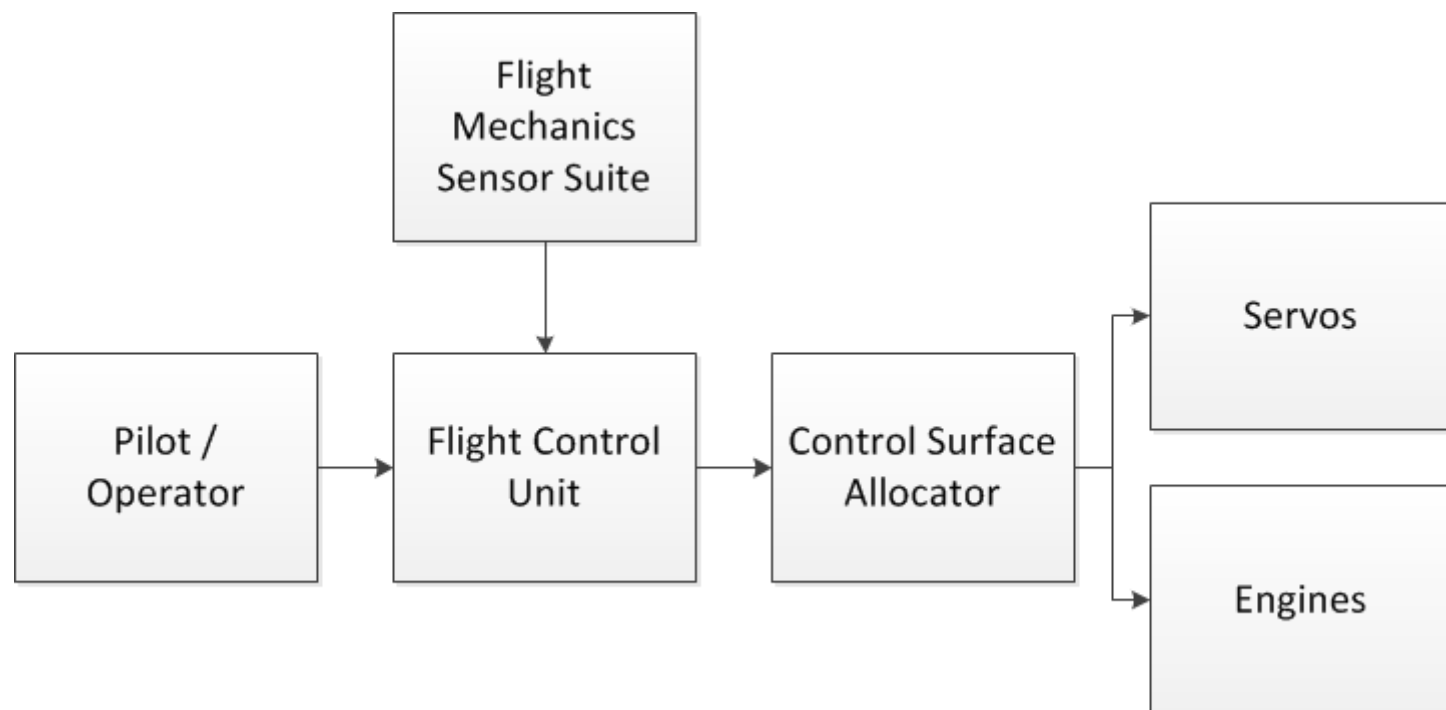


# AC2030

- 2 Elevons
- 2 Rudder
- 2 Flaps
- 2 Engines



# Avionik



# Control Surface Allocator

- Virtual Commands

- „Roll right“
- „Pitch up“
- „Faster“



- Actual Commands

- „Aileron[right] move up“
- „Engine[left] less power“

# Mein Fokus

- Entwicklung des CSA
  - Selbstheilendes System
- Ausfall erkennen
  - Sensorik
  - Neuronales Netz
- Dynamische Reallokation
  - Neuronales Netz
  - Daisy Chain
  - Optimale Zuordnung
- Analyse der Flugeigenschaften des AC2030

# „Towards Safer Flight“



„Dafür sorgen, dass das Flugzeug zu  
jeder Zeit steuerbar ist“

# Quellen

- [1] Aircraft Control Surfaces and Maneuvering. <http://avioners.net/aircraft-control-surfaces-and-maneuveri/>
- [2] NASA Armstrong Fact Sheet: Intelligent Flight Control System. <http://www.nasa.gov/centers/armstrong/news/FactSheets/FS-076-DFRC.html>
- [3] P. Williams-Hayes. Flight Test Implementation of a Second Generation Intelligent Flight Control System. Nasa Technical Report. 2005
- [4] J. Bosworth. Flight Results of the NF-15B IFCS Aircraft with Adaptation to a Longitudinally Destabilized Plant. Nasa Technical Report. 2013
- [5] K. Gundy-Burlet, K. Krishnakumar, G. Limes, D. Bryant. Control Reallocation Strategies for Damage Adaptation in Transport Class Aircraft. AIAA paper 2003-3808, 2003
- [6] A. Casavola, E. Garone. Fault-tolerant adaptive control allocation schemes for overactuated systems. International Journal of Robust and Nonlinear Control. Volume 20, Issue 17, pages 1958–1980. 2010
- [7] N. Nguyen, K. Krishnakumar, J. Kaneshige, P. Nespeca. Dynamics and Adaptive Control for Stability Recovery of Damaged Asymmetric Aircraft. AIAA Guidance, Navigation, and Control Conference, 2006
- [8] O. Härkégard, T. Glad. Resolving Actuator Redundancy - Optimal Control vs. Control Allocation. Automatica 41. 2005. Pages 137–144
- [9] Aerospace Projects Review, Electronic Version. Issue Volume 1, Number 3. <http://www.up-ship.com/eAPR/ev1n3.htm>
- [10] M. Voskuyl, G. La Rocca, F. Dircken. Controllability of Blended Wing Body Aircraft, 26<sup>th</sup> International Congress of the Aeronautical Sciences (ICAS). 2008

# Konferenzen / Journals

- Aviation
  - International Micro-Aerial-Vehicle Conference (IMAV)
  - International Congress Of The Aeronautical Sciences
  - Journal Of Aircraft
- Control Theory
  - International Journal Of Robust And Nonlinear Control
  - European Control Conference
  - Modeling and Simulation Technologies Conference
  - International Conference on Electrical Engineering and Informatics
- Computer Science
  - International Conference on Intelligent Robots and Systems
  - Digital Avionics Conference

Vielen Dank für Ihre Aufmerksamkeit!

Fragen?